



## طراحی کنترلر LPV برای سیستم تعليق نيمه اكتيو خودرو .

سپيده شاداب، محمد هادي مالك

مركز تحقیقات سجاد

[Sepideh.shadab@gmail.com](mailto:Sepideh.shadab@gmail.com)

چکیده: در اين مقاله روش تغيير خطى پارامتر (LPV) برای کنترل سیستم تعليق نيمه اكتيو خودرو بكار گرفته شده است. مدل در نظر گرفته شده يك چهارم مدل اتومبيل به همراه دمپر Magneto-Rheological (MR) می باشد. از مزاياي اين دمپر نسبت به دمپرهای اكتيو توان مصرفی پايان آن می باشد. وجود دمپر MR در سیستم باعث پيدا شدن خصوصيات غيرخطى در ساختار مدل می شود که اين خود باعث پيچيدگى کنترل اين سیستم خواهد شد. از طرف ديگر در مدلسازی LPV سیستم نيز دو عامل بهبود عملکرد و برخورد با عدم قطعیتهای موجود در سیستم مد نظر قرار گرفته است. در این سیستم سیگنالهای فيديبکي بكار رفته شامل جابجايی جرم خودرو، ولتاژ اعمالی به دمپر و جابجايی داخلی دمپر می باشد. آناليز ديناميکي در حوزه زمان بوسيله سیگنال ضربه انجام می شود و با استفاده از شبیه‌سازی عملکرد کنترلر طراحی شده، مورد بررسی قرار می گيرد.

واژه‌های کلیدی: دمپر Magneto Rheological ، سیستم تعليق، کنترل LPV ، کنترل روابست  $H^\infty$

در اين مقاله، هدف، پيشنهاد روشی برای افزایش راحتی سرنشینان خودرو با سیستم تعليق نيمه فعال کنترل شده با استفاده از کنترلر LPV می باشد که با بكارگيري آن بتوان علاوه بر پايداري سیستم، عملکرد آن را تا حد ممکن بهبود بخشide و با عدم قطعیتهای سیستم نيز مبارزه کرد. مشکل اصلی در رسيدن به اين هدف وجود مشخصه غيرخطی در مدل سیستم (به خاطر استفاده از دمپر نيمه فعال ) می باشد. (شکل ۱)

### ۱-۱- مقدمه

سيستمهای تعليق بكار رفته در كليه سازه ها از سه نوع پسيو، اكتيو و يا نيمه اكتيو می باشد. سیستمهای تعليق پسيو، چنانچه تغييری در ساختار سازه و شرياط اعمالی به آن ايجاد شود؛ طبيعی است که توانایي مقابله با آن را نخواهد داشت.

سيستمهای تعليق اكتيو (فعال)، عموماً هيوروليكی بوده و عملکرد خوبی نسبت به سیستمهای پسيو دارند. با اين وجود به لحاظ ساختار از پيچيدگى بسیار بيشتری برخوردار هستند و توان مصرفی آنها ممکن است به چند ده كيلو وات برسد (در اتومبيل اين توان باید توسط موتور اتومبيل تامين شود که به هیچ عنوان مطلوب نیست). لذا اين سیستم تعليق هزينه بر و غيرااقتصادی خواهد بود [۳].

در مقابل اين دو نوع سیستم، سیستمهای تعليق نيمه فعال می باشد که توان مصرفی زيادي ندارد و به همين دليل هزينه بهره برداری آن پايان تراز نوع اكتيو می باشد [۳].

۲-۱- توصيف سیستم تعليق با دمپر MR  
در سیستم تعليق مورد نظر، يك دمپر MR که ساختار آن در شکل ۲- ب نشان داده شده است، قرار دارد. با کنترل جريان بر روی کویيل الکترومغناطيسي دمپر، فلوئي روغن در داخل آن می تواند تغيير کند و اين تغيير باعث تغيير در ميزان ميرائي دمپر خواهد شد. نحوه عملکرد و نمودار عملکرد اين نوع دمپر در شکل ۲ - الف رسم شده است. همانطور که در شکل مشاهده می شود، با تغيير جريان از



با توجه به قوانین حاکم بر این سیستم دینامیکی می‌توان روابط ۳ را برای آن بدست آورد.

$$F_{m_s} = -F_{k_s} - F_{b_s} + f \quad (3)$$

$$F_{m_{us}} = +F_{k_s} + F_{b_s} - F_{k_t} - f$$

بر اساس قوانین نیوتون و روابط موجود میان نیروی فنر و دمپر روابط (۴) را خواهیم داشت. [۱]

$$F_{m_s} = m_s \ddot{x}_s, \quad F_{m_{us}} = m_{us} \ddot{x}_{us}$$

$$F_{k_s} = k_s (x_{us} - x_s), \quad F_{k_t} = k_t (x_{us} - r) \quad (4)$$

$$F_{b_s} = b_s (\dot{x}_{us} - \dot{x}_s)$$

با استفاده از مجموعه روابط (۱)، (۳) و (۴) و با در نظر گرفتن  $x_3 := x_{us}$  و  $x_1 := x_s$  و  $x_5 := z$  و  $x_2 := x_4$  ، معادلات حالات سیستم به صورت رابطه (۵) بدست خواهد آمد.

$$\dot{x}_1 = x_2 \quad (5)$$

$$\begin{aligned} \dot{x}_2 &= -\frac{1}{m_s} [k_s (x_1 - x_3) + b_s (x_2 - x_4) - \alpha x_5 \\ &\quad - c(x_2 - x_4)] \end{aligned}$$

$$\dot{x}_3 = x_4$$

$$\begin{aligned} \dot{x}_4 &= \frac{1}{m_{us}} [k_s (x_1 - x_3) + b_s (x_2 - x_4) - \alpha x_5 \\ &\quad - c(x_2 - x_4) - k_t (x_3 - r)] \end{aligned}$$

$$\begin{aligned} \dot{x}_5 &= -\gamma |x_2 - x_4| |x_5|^{n-1} - \beta (x_2 - x_4) |x_5|^n \\ &\quad + A (x_2 - x_4) \end{aligned}$$

$$\dot{x}_6 = -\frac{1}{190} (x_6 - v)$$

در این معادلات، سیگنال  $r$ ، ورودی اغتشاش و سیگنال  $v$ ، ولتاژ اعمال شده به دمپر یا در حقیقت سیگنال کنترلی خواهد بود. باید توجه داشت که:

$$\alpha = \alpha_a + \alpha_b x_6 \quad (6)$$

$$c = c_a + c_b x_6$$

### ۳-۱- مدلسازی LPV برای سیستم تعلیق

دسته‌ای از سیستمهای خطی با بعد محدود که ماتریسهای فضای حالتی آن به صورت پیوسته، فقط به بردار پارامتر،  $\theta(t)$ ، بستگی دارد، LPV نامیده می‌شود. در ادامه مقاله، به جای استفاده از  $\theta(t)$  در روابط از  $\theta$  استفاده خواهد شد

تعریف مشخص سیستم LPV، به صورت زیر است:

تا ۲ آمپر، نیروی میراکننده می‌تواند از کم تا زیاد تنظیم شود. اما در این تحقیق جریان در حد ۱ آمپر محدود شده است زیرا استفاده از جریان ۲ آمپر، میزان توان تلفاتی را ۴ برابر بیشتر می‌کند اما میرایی را چندان تغییر نمی‌دهد [۵].

روابط حاکم بر دینامیک مدل دمپر MR، شکل ۳ به صورت معادلات (۱) می‌باشد [۵].

$$\begin{aligned} f &= c \dot{x} + \alpha z \\ \dot{z} &= -\gamma |\dot{x}| z |z|^{n-1} - \beta (\dot{x}) |z|^n - A \dot{x} \\ \alpha &= \alpha_a + \alpha_b u \\ c &= c_a + c_b u \end{aligned} \quad (1)$$

در روابط فوق،  $Z$ ، یک متغیر کمکی است که جهت نگه داشتن سابقه اطلاعات بکار گرفته شده است. پارامترهای  $\alpha$  و  $c$  در معادلات دمپر، به ولتاژ اعمال شده به درایور جریان دمپر بستگی دارد و  $u$ ، خروجی فیلتر مرتبه اول با رابطه (۲) خواهد بود.

$$\dot{u} = -\frac{1}{190} (u - v) \quad (2)$$

در قسمت شبیه سازی، پارامترهای  $\alpha_a, \alpha_b, c_a, c_b, \beta$  و  $A$ ، مطابق جدول ۱ در نظر گرفته شده است. [۵] نتایج شبیه سازی مدل پیشنهادی در مقایسه با عملکرد واقعی یک دمپر MR، در شکل ۴ مشاهده می‌شود و این شکل نمایانگر نزدیک بودن رفتار این دمپر با مدل پیشنهادی می‌باشد [۶].

### ۳-۲- توصیف مدل سیستم

مدل بکار رفته در شکل ۱ جهت طراحی سیستم تعلیق نیمه فعال بکار گرفته شده است که در این شکل  $m_s$ ، جرم اتومبیل،  $m_{us}$ ، جرم تایر می‌باشد.  $k_s, b_s$ ، به ترتیب ضریب دمپ و سختی فنر سیستم تعلیق پسیو موجود بین تایر و بدنه خودرو می‌باشد.  $k_t$  نیز سختی فنری است که عنوان مدل تایر خودرو در نظر گرفته شده است. متغیرهای  $x_s, x_{us}, r$ ، نیز جایجایی بدنه، جایجایی تایر و اغتشاشات جاده می‌باشد. نیروی  $f$  نیرویی است که از طرف دمپر به بدنه اعمال می‌شود و این نیرو با توجه به مطالب گفته شده با اعمال ولتاژ قابل تغییر به دمپر نیمه فعال، قابل تغییر و تنظیم است. [۶]



که  $y \in \Re^q$  ،  $z \in \Re^p$  ،  $u \in \Re^m$  ،  $x \in \Re^n$  و  $w \in L_2[0, \infty)$  باشد. به ترتیب بردار حالت، بردار کنترل، بردار خروجی اندازه گیری شونده و بردار خروجی کنترل شونده می باشند و سیگنال  $w$  نیز سیگنال اغتشاش ورودی به سیستم خواهد بود.

با تغییر پارامتر  $\theta$  در فضای  $\Theta$  ، معادلات سیستم تغییر کرده و ماتریس چند وجهی سیستم را می توان به صورت (۱۳) در نظر گرفت:

$$S_i = \begin{bmatrix} A_i & B_{1i} & B_{2i} \\ C_{1i} & 0 & D_{12i} \\ C_{2i} & D_{21i} & 0 \end{bmatrix} \quad (13)$$

ساختار کنترلر را به صورت (۱۴) در نظر گرفته می شود:

$$K(\theta) = \sum_{i=1}^N \alpha_i(\theta) K_i \quad (14)$$

که در این ساختار،  $\sum_{i=1}^N \alpha_i(\theta) = 1$  و  $\alpha_i(\theta) \geq 0$  و

$$K_i = \begin{bmatrix} A_{ci} & B_{ci} \\ C_{ci} & 0 \end{bmatrix} \quad (15)$$

تحقیق فضای حالتی سیستم حلقه بسته به صورت (۱۶) در نظر گرفته می شود:

$$\begin{cases} \dot{X}(t) = A_e(\theta)X(t) + B_e(\theta)w \\ z(t) = C_e(\theta)X(t) \end{cases} \quad (16)$$

که در سیستم (۱۶) :

$$A_e = \begin{bmatrix} A(\theta) & B_2(\theta)C_c(\theta) \\ B_c(\theta)C_2(\theta) & A_c(\theta) \end{bmatrix} \quad (17)$$

$$B_e = [B_1(\theta) \quad B_c(\theta)D_{21}(\theta)]^T$$

$$C_e = [C_1(\theta) \quad D_{12}(\theta)C_c(\theta)]$$

لازم است شرایط لازم برای پایداری کنترلر روبرو باشد.  $H^\infty$  بیان شود.

قضیه ۱ [۸]: یک سیستم LTI با تحقق فضای حالتی به فرم معادلات (۱۸) باشد که:

$$\begin{cases} \dot{x} = Ax + Br \\ y = Cx + Dr \end{cases} \quad (18)$$

پایدار است، اگر و فقط اگر ماتریس متقابن  $P$  وجود داشته باشد که:

$$\begin{bmatrix} A^T P + PA & PB & C^T \\ B^T P & -\gamma I & D^T \\ C & D & -\gamma I \end{bmatrix} \prec 0 \quad , \quad P \succ 0 \quad (19)$$

تعریف ۱ - سیستم خطی پارامتر متغیر (LPV) سیستمی است که توصیف فضای حالت آن تابعی از پارامتر  $\theta$  باشد. به بیان دیگر سیستم:

$$\begin{cases} \dot{x} = A(\theta)x + B(\theta)r \\ y = C(\theta)x + D(\theta)r \end{cases} \quad (20)$$

یک سیستم LPV است که:

$$\theta = \{\theta_1, \theta_2, \dots, \theta_m\} \quad (21)$$

$$\underline{\theta}_i \leq \theta_i \leq \bar{\theta}_i \quad (22)$$

در مدلسازی LPV ، پارامترهای  $\theta$ ، که یا مستقیماً اندازه گیری می شوند و یا قابل محاسبه از سایر سیگنالهای اندازه گیری هستند، توسط طراح باید انتخاب گردد. [۴۲]

بردار پارامترهای ما بصورت زیر خواهد بود:

$$\theta = [x_2 - x_4 \quad |x_5| \quad x_5^2 \quad u] \\ = [\theta_1 \quad \theta_2 \quad \theta_3 \quad \theta_4] \quad (23)$$

با بهره گیری از رابطه (۲۰)، ماتریسهای پارامتری سیستم LPV مدل شده (۷) به صورت رابطه (۱۱) حاصل خواهد شد.

$$A(\theta) = \quad (24)$$

$$\begin{bmatrix} 0 & 1 & 0 & 0 & 0 \\ -k_s & -b_s + c(\theta_4) & k_s & b_s - c(\theta_4) & \alpha(\theta_4) \\ m_s & m_s & m_s & m_s & m_s \\ 0 & 0 & 0 & 1 & 0 \\ k_s & b_s - c(\theta_4) & k_t - k_s & -b_s + c(\theta_4) & -\alpha(\theta_4) \\ m_s & m_s & m_s & m_s & m_s \\ 0 & A - \beta \theta_3 & 0 & -(A - \beta \theta_3) & -\gamma \theta \theta_2 \end{bmatrix}$$

$$B(\theta) = [0 \quad 0 \quad 0 \quad -k_t \quad 0]$$

$$C(\theta) = [1 \quad 0 \quad 0 \quad 0 \quad 0], \quad D = 0$$

بنابراین با تعیین حدود مناسب برای پارامترهای  $\theta_1, \theta_2, \theta_3$  و  $\theta_4$ ، محدوده کاری سیستم، یک چند رأسی خواهد بود.

طراح باید در هر کدام از این گوشه ها (رئوس)، کنترلر مناسب را طراحی کند.

### -۵-۱ - کنترل LPV با معیار $H^\infty$

فرض می کنیم سیستم LPV ، به صورت رابطه (۱۲) باشد:

$$\begin{cases} x(t) = A(\theta)x(t) + B_1(\theta)w(t) + B_2(\theta)u(t) \\ z(t) = C_1(\theta)x(t) + D_{12}(\theta)u(t) \\ y(t) = C_2(\theta)x(t) + D_{21}(\theta)u(t) \end{cases} \quad (12)$$

$$\theta \in \Theta$$



$$\begin{aligned} H_i &= A_i Y + Y A_i^T + B_{2i} L + L^T B_{2i}^T \\ G &= X A_i + A_i^T X + F C_{2i} + C_{2i}^T F^T \end{aligned} \quad (25)$$

$Z + A_i + Y A_i^T X + L^T B_{2i}^T X + Y C_{2i}^T F^T$   
حاصل این مساله ماتریسهای  $L, X, Y, F, Z$  و  $M_i$  خواهد  
بود و ماتریس تحقق فضای حالتی کنترلر  
 $K_i = \begin{bmatrix} A_{ci} & B_{ci} \\ C_{ci} & 0 \end{bmatrix}$  نیز به صورت رابطه (۲۶) محاسبه  
خواهد شد:

$$\begin{aligned} A_{ci} &= (I - XY)^{-1} M_i \\ B_{ci} &= (I - XY)^{-1} F \end{aligned} \quad (26)$$

$C_{ci} = L$   
که ماتریس کنترلر برای گوشش های سیستم می باشد.  
قضیه [۱۰]: سیستم (۱۲) با کنترلر فیدبکی (۱۴) پایدار  
بوده و قطبها حلقه بسته آن در سمت چپ صفحه  
 $\forall \theta \in \Theta; \text{Re}(s) < -\alpha, \alpha > 0$  قرار خواهد داشت اگر  
ماتریس متقارن مثبت  $X_e$  وجود داشته باشد به قسمی که:  
 $A_e X_e + X_e A_e^T + 2\alpha X_e < 0$  (۲۷)

بدین ترتیب مساله مینیممیم سازی (۲۸) حاصل خواهد شد  
که اساس طراحی کنترلر در این مقاله می باشد.

$$\begin{aligned} \min \gamma \\ \begin{bmatrix} X & I \\ I & Y \end{bmatrix} > 0 \\ \begin{bmatrix} H_i & Z_i + M_i & B_1 & L^T D_{12}^T + Y C_1^T \\ * & G_i & X B_1 + F D_{21} & C_1^T \\ * & * & \gamma I & 0 \\ * & * & * & \gamma I \\ \left[ \begin{array}{cc} H_i & M_i^T + Z_i^T \\ M_i^T + Z_i^T & G_i \end{array} \right] + 2\alpha \begin{bmatrix} X & I \\ I & Y \end{bmatrix} < 0 \end{bmatrix} \end{aligned} \quad (28)$$

### ۶-۱ نتایج شبیه سازی

با توجه به مطالعی که بیان شد و پس از طراحی کنترلر LPV برای سیستم تعلیق، یک سیگنال پله به عنوان ورودی اغتشاش به سیستم اعمال شده و پاسخ سیستم مورد تجزیه و تحلیل قرار می گیرد. در شکل ۵، پاسخ حلقه باز سیستم را می توان مشاهده کرد که سیستمی با نوسانات میرا شونده خواهد بود اما زمان میرا شدن نوسانات زیاد است (حدود ۵۰ ثانیه). با اعمال کنترلر LPV، به سیستم

بنابراین طراحی کنترلر  $H_\infty$  برای سیستم (۱۸) عبارتست از کنترلری به فرم (۲۰) که سیستم حلقه بسته (۲۱) را پایدار کرده و  $q \prec \gamma \|w\|_2$ .  $q$  خروجی کنترل شده و  $w$  ورودی خارجی می باشد.

$$\begin{cases} \dot{x}_k = A_k x_k + B_k y \\ r = C_k x_k + D_k y \end{cases} \quad (20)$$

$$\begin{cases} \dot{x}_{cl} = A_{cl} x_{cl} + B_{cl} w \\ q = C_{cl} x_{cl} + D_{cl} w \end{cases} \quad (21)$$

پس بر اساس قضیه ۱، کنترلر  $H_\infty$  مناسب برای سیستم (۱۸) باید در روابط (۲۲) صدق کند. در این نامعادله ماتریسی،  $D_{cl}, C_{cl}, B_{cl}, A_{cl}$  و  $P$ ، تحقق فضای حالتی سیستم حلقه بسته با کنترلر فیدبکی  $H_\infty$  می باشد (معادلات این سیستم حلقه بسته در (۲۱) نشان داده شده است).

$$\begin{bmatrix} A_{cl}^T P + P A_{cl} & P B_{cl} & C_{cl}^T \\ B_{cl}^T P & -\gamma I & D_{cl}^T \\ C_{cl} & D_{cl} & -\gamma I \end{bmatrix} < 0, \quad P > 0 \quad (22)$$

برای حل نامساوی فوق باید از ابزار LMI در نرم افزار Matlab بهره گرفت. [۷]  
در این مقاله روش پیشنهادی بر اساس قضیه زیر است. یافتن کنترلری با ماتریس متغیر با زمان.

قضیه [۱۰]: چنانچه ماتریسهای متقارن مثبت  $F \in \mathbb{R}^{n \times n}$  و  $L \in \mathbb{R}^{m \times n}$  و  $X, Y \in \mathbb{R}^{n \times n}$  و  $M_i \in \mathbb{R}^{n \times n}$ ،  $\forall i = 1, \dots, N$ ، ماتریس حلهای نامساوی ماتریسی (۲۴) باشد، آنگاه سیستم LPV بیان شده در رابطه (۱۲) با فیدبکی به فرم رابطه (۱۴) پایدار بوده و:

$$\|T_{zw}(s)\|_\infty < \gamma, \forall \theta \in \Theta \quad (23)$$

$$\begin{cases} \begin{bmatrix} X & I \\ I & Y \end{bmatrix} > 0 \\ \begin{bmatrix} H_i & Z_i + M_i & B_1 & L^T D_{12}^T + Y C_1^T \\ * & G_i & X B_1 + F D_{21} & C_1^T \\ * & * & \gamma I & 0 \\ * & * & * & \gamma I \\ \left[ \begin{array}{cc} H_i & M_i^T + Z_i^T \\ M_i^T + Z_i^T & G_i \end{array} \right] + 2\alpha \begin{bmatrix} X & I \\ I & Y \end{bmatrix} < 0 \end{bmatrix} \end{cases} \quad (24)$$

علامت (\*) درایه های متقارن نسبت به قطر اصلی می باشد



2. H. D. Tuan, E. Ono, P. Apkarian & S. Hoses, "Nonlinear  $H_\infty$  Control for an Integrated Suspension System via Parameterized Linear Matrix Inequality Characterizations", 2000.
3. S.J. Dyke, B.F. Spencer, M.K. Sain & J.D. Carlson, " An Experimental Study of MR Damper for Seismic Protection" , Smart Material & Structures: Special Issue on Large Civil Structure.
4. M.H. Bouazizi,A. Kochbati & M. Ksouri, " $H_\infty$  control of LPV System with Dynamic Output Feedback". Moraco, 2002
5. L.M. Jansen, Sh.J. Dyke, " Semi Active Control Strategies for MR Damper A Comparative Study", ASCE Journal of Engineering Mechanics, Vol. 126, No. 8, pp. 795-803, 2005.
6. X. Song, M. Ahmadian, " Study of Semi active Adaptive Control Algorithm with MR Seat Suspension", SAE International , 2004.
7. M. Yokoyama, J. Karl & Sh. Toyama, " A Model Following Sliding Mode Controller for Semi-Active Suspension System with MR Damper", Proceeding of the American Control Conference Arlington, Jun. 2001.
8. U. Retting, O.V. Strylk, "Robust & Optimal damping control for semi active vechicle suspension", ENOC2005 , Eindhoven, Aug. 2005
9. J.H. Koo, "Using Magneto- Rheological Dampers in Semi active Tuned Vibration Absorbers to Control Structural Vibrations", PHD Thesis, Virginia Polytechnic Institute and State University, July 2003.
- 10- نجمه اقبال، " مدلسازی و کنترل LPV هواپیمای F16 "، رساله کارشناسی ارشد کنترل، گروه برق دانشکده مهندسی دانشگاه فردوسی، ۱۳۸۳

جدول ۱ - جریان مغذو شون بین دو صفحه موازی

$\alpha_a = 8.66$	$\alpha_b = 8.86$
$c_a = 0.0064$	$c_b = 0.0052$
$A = 120$	$n = 2$
$\beta = 300$	$\gamma = 300$

تعليق، خروجی سیستم مورد نظر به شکل ۶، ظاهر خواهد شد که در این شکل، کاهش قابل توجه دامنه نوسانات خروجی و همچنین کاهش زمان نشست سیستم به وضوح مشاهده می شود. (در این حالت نوسانات در زمان حدود ۲ ثانیه کاملاً میرا می شود). در شکل ۷، سیگنال کنترل حاصل از کنترلر LPV مشاهده می شود. شکل ۸ نمایانگر پاسخ فرکانسی سیستم خواهد بود. در این شکل مشاهده می شود که در فرکانس‌های پایین، (کمتر از ۱ هرتز) نسبت شتاب بدن به اغتشاشات ورودی در حالت بدون کنترلر (خط چین) با حالتی که سیستم تحت کنترل قرار گرفته است (خط ممتد) متفاوت بوده و عملکرد مناسبی (نسبت کمتر) را در حالت استفاده از کنترلر شاهد خواهیم بود.

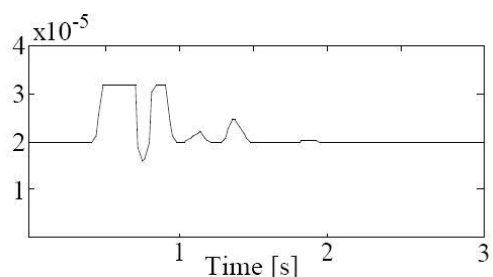
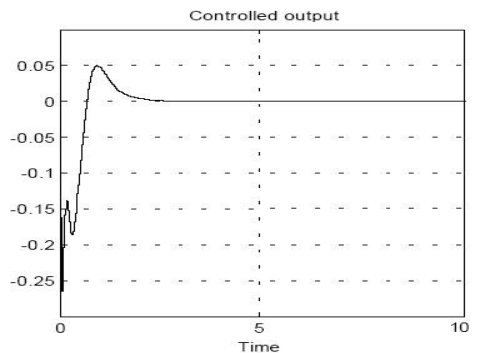
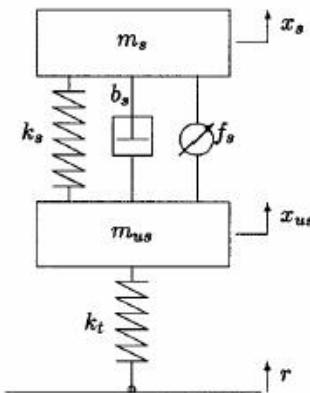
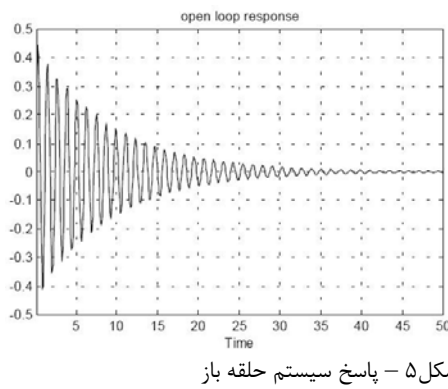
## ۷-۱-نتایج

در این مقاله یک کنترلر خطی پارامتر متغیر (LPV) برای کنترل سیستم تعليق دارای دمپر MR به کار گرفته شده است. رفتار غیرخطی دمپر MR در این سیستم باعث می شود که کنترلرهای خطی پاسخهای مناسبی را ارائه ندهد. به خصوص زمانی که سیستم تحت تاثیر نویز و اغتشاشات LPV خارجی قرار می گیرد [۸]، با استفاده از مدل سازی یک مدل چند راسی برای سیستم، حاصل شده و برای هر راس کنترل روابست  $H_\infty$ ، با استفاده از مساله می نیمم سازی با قیود نامساوی های ماتریسی، طراحی شده است و با استفاده از قانون درونیابی، می توان مقدایر میانی برای کنترل سیستم در فضای چندراستی را به دست آورد. از آنجایی که اساس ساختار کنترلر LPV بر کنترل روابست  $H_\infty$ ، استوار است، این کنترلر توانایی برخورد با نویز، اغتشاش و عدم قطعیت در سیستم را دارد.

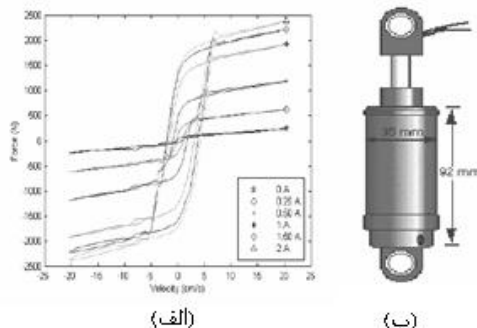
علاوه بر این در طراحی کنترلر قید اضافی برای محل قرار گرفتن قطبهای حلقه بسته اعمال شده است. با اعمال این موارد بهبود قابل توجهی در رفتار سیستم مشاهده می شود که در نتایج شبیه سازی می توان این بهبود را به وضوح مشاهده کرد.

## ۸-۱-مراجع

1. P. Gaspar, I. Szaszi , J. Bokor , "Active Suspension Design using linear parameter varying control" , IJVAS, 2003.

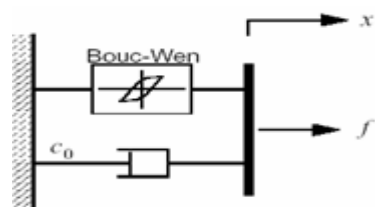


شکل 1- مدل سیستم تعليق برای یک چهارم خودرو

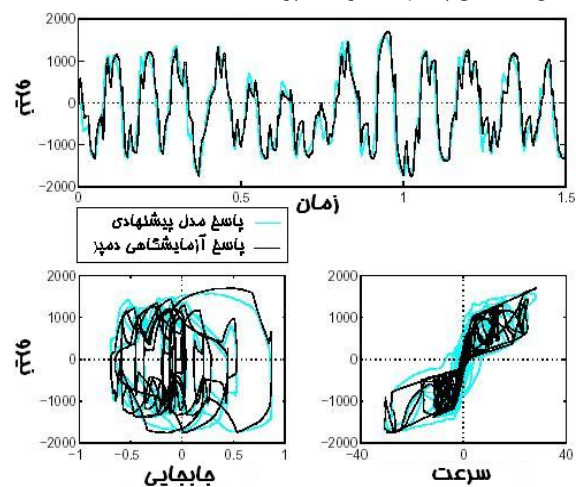


شکل 2- (الف) نمودار سرعت نیرو در دمپر MR

ب) شماتی خارجی دمپر MR [7]



شکل 3- مدل پیشنهادی برای دمپر MR



شکل 4- مقایسه نتایج شبیه سازی عملی دمپر با مدل [7]

شکل 8- پاسخ فرکانسی سیستم مطالعه

